

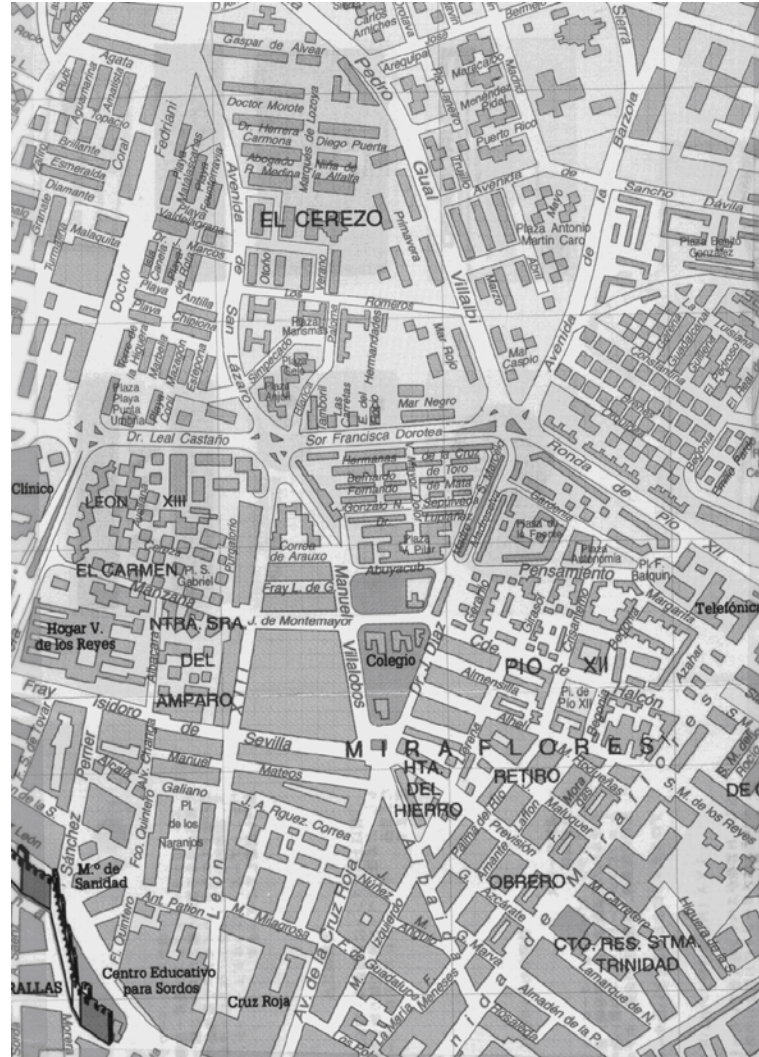


**Francisco García Benítez**

***MODELIZACION DEL TRÁFICO  
utilizando técnicas de  
DISCRETIZACIÓN DEL CONTINUO***

**Indice**

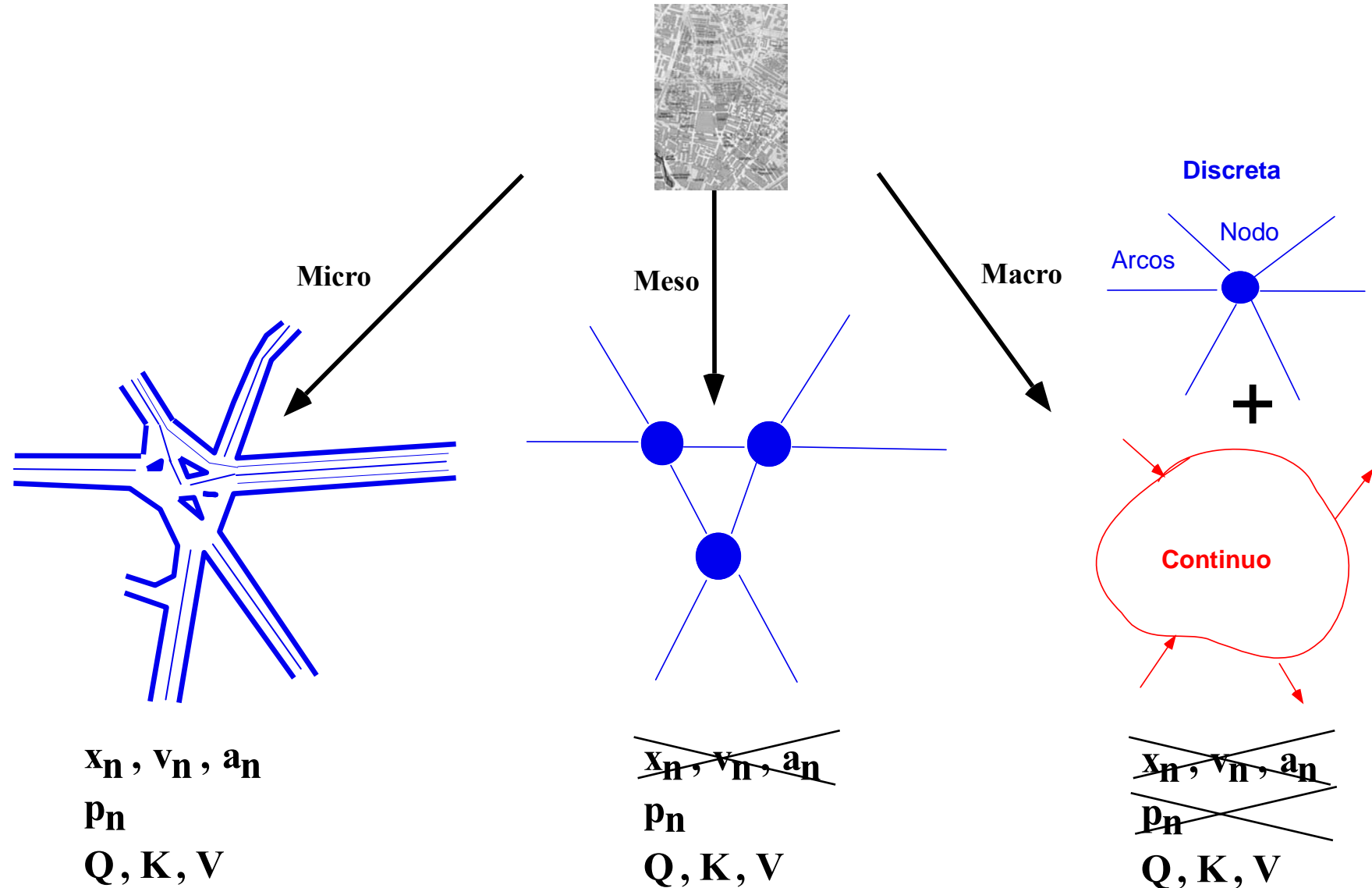
- *Interés de este tipo de modelizaciones*
- *Bases y fundamentos: Flujo de tráfico*
- *Ejemplos*
- *Líneas investigadas*
- *Conclusiones*



## Areas urbanas densas

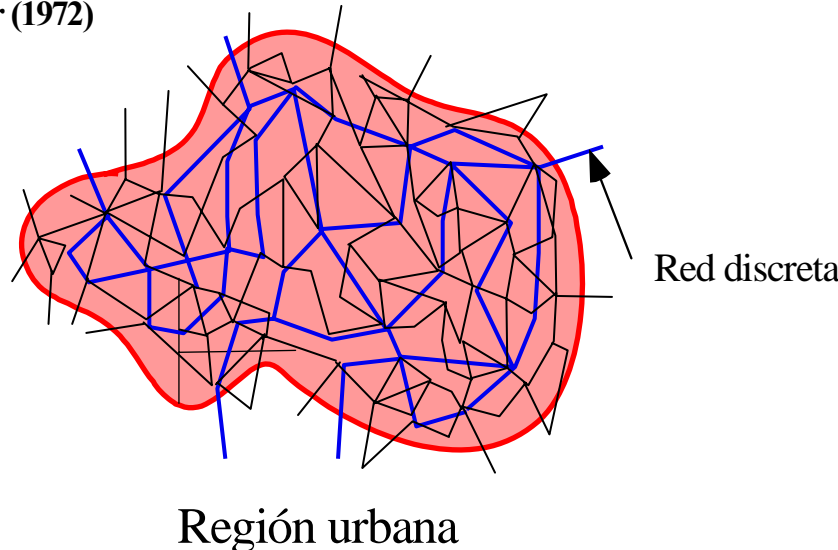
¿ Es posible simular areas urbanas densas reales?

¿Cuál podría ser la metodología más adecuada ?



- Técnicas utilizadas durante la década de los 80 y 90
- Aproximaciones basadas en "Redes Discretas"

- R. B. Potts, R. M Oliver (1972)

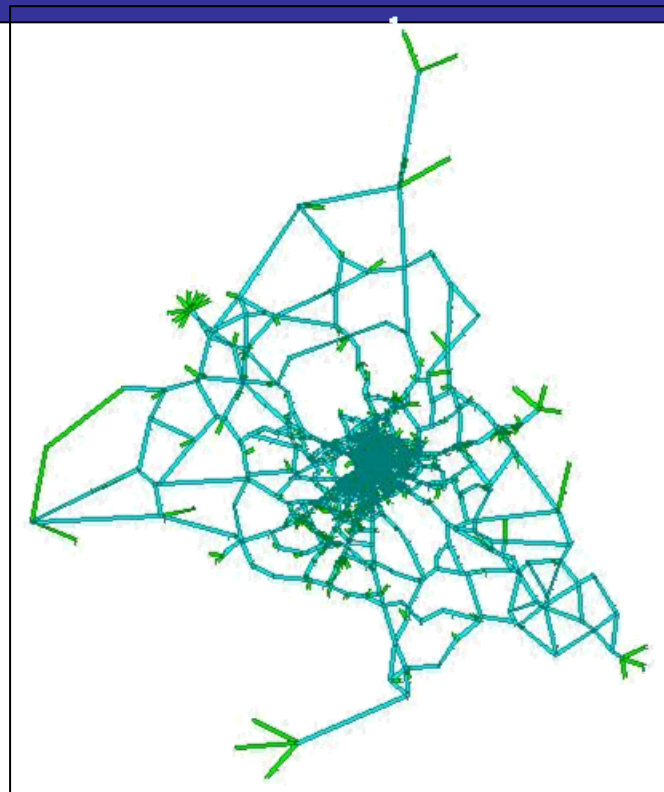


### VENTAJAS

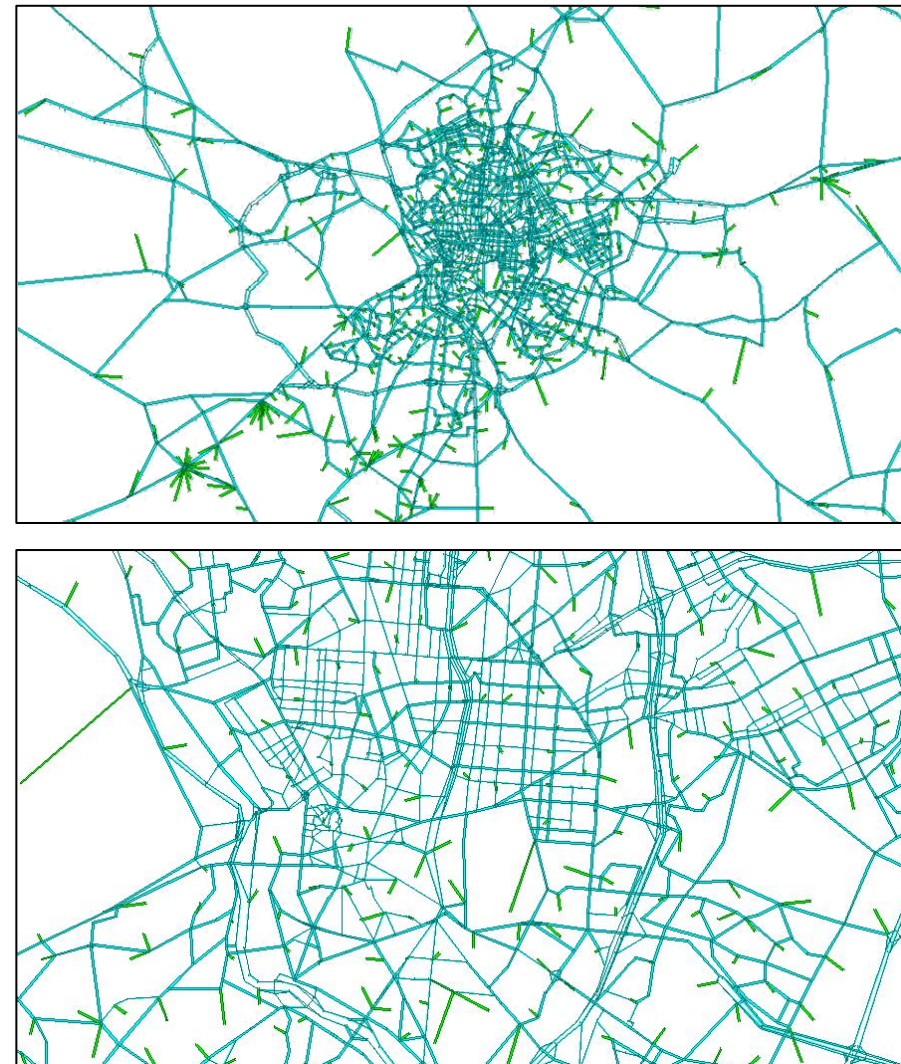
- Modelado realista  
(dependiendo del grado de representatividad de la red)
- Facilidad de modelado de acciones, intervenciones, modificaciones, obras

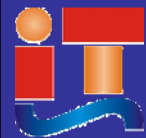
### DESVENTAJAS

- Modelado costoso
- Mantenimiento y actualizaciones costosas
- Dificultad en la obtención de soluciones (interpretables, robustas)
- Exigencia de sistemas informáticos y expertos dedicados

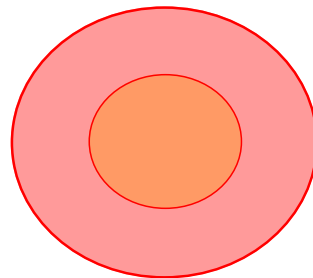
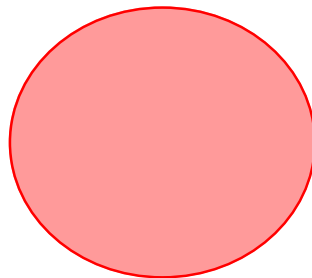


Arcos: 8,080  
Nodos: 3,641  
Centroides: 677





- Técnicas utilizadas durante las décadas de los 70 y 80
- Approximación basada en el "Modelado del Continuo"
  - G. Newell (1980)
  - R. Vaughan (1987)



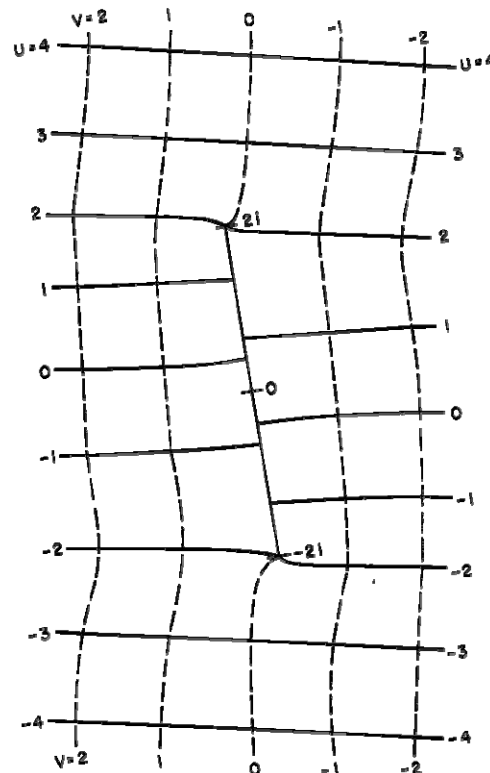
## VENTAJAS

- Modelado fácil
  - pocos datos
  - modelos sencillos
  - soluciones simples

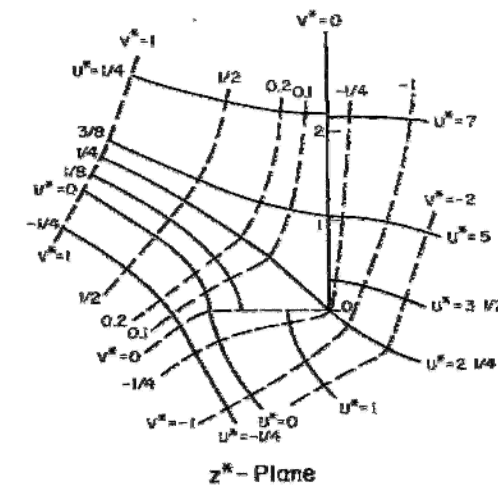
## DESVENTAJAS

- Limitado realismo
- Capacidad reducida para el modelado de modificaciones e intervenciones
- Dificultad en validar los resultados con la realidad

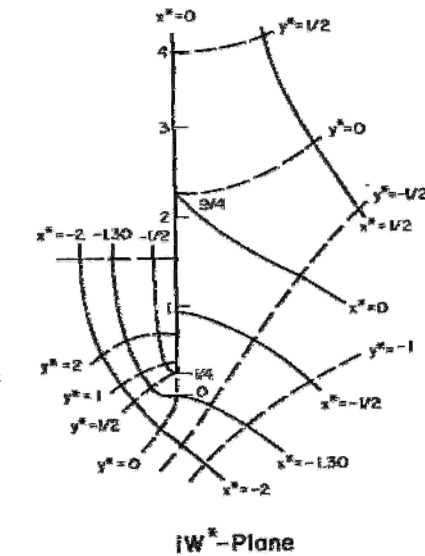
From G. Newell (1993)



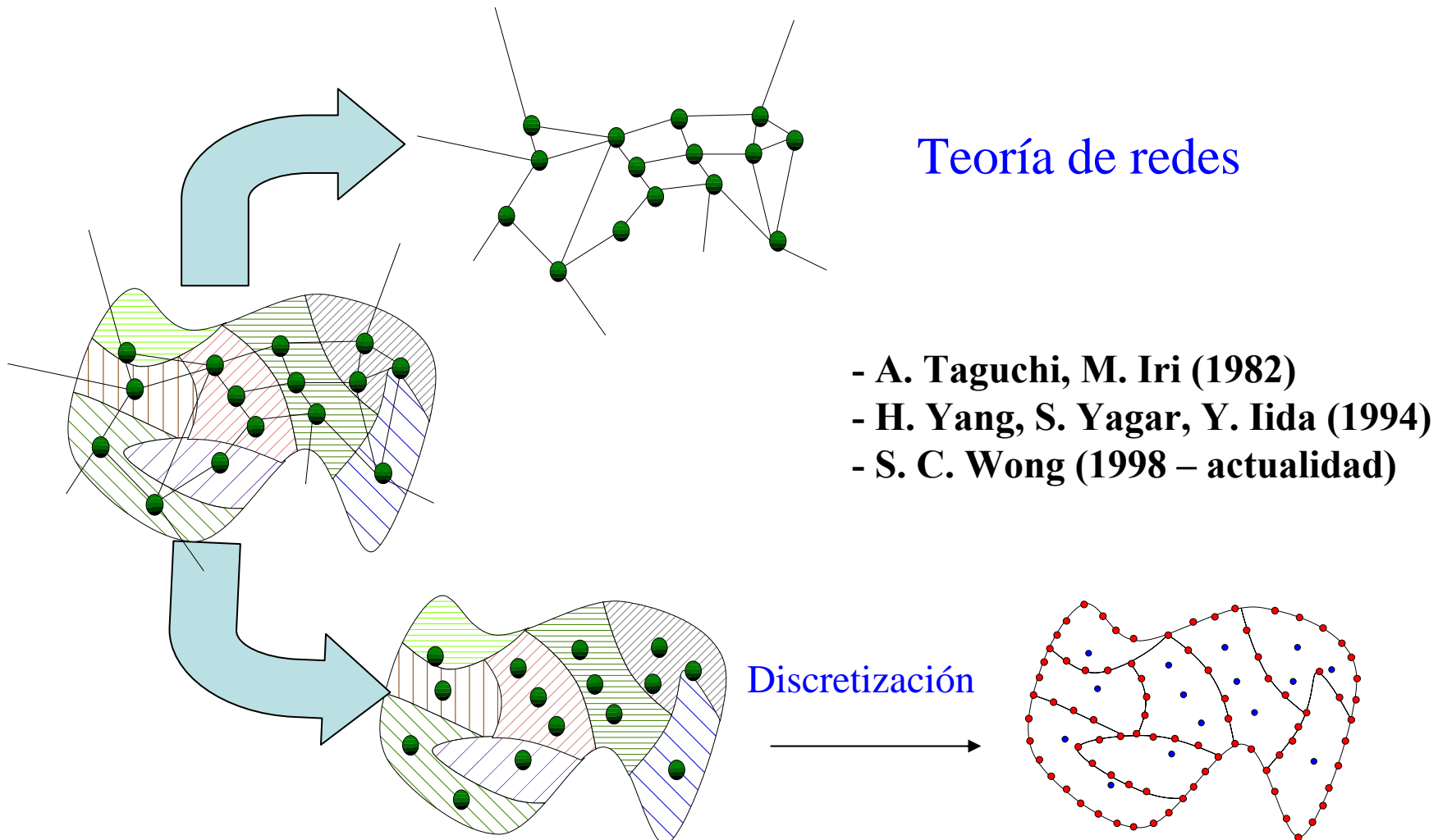
Flow around a linear obstruction



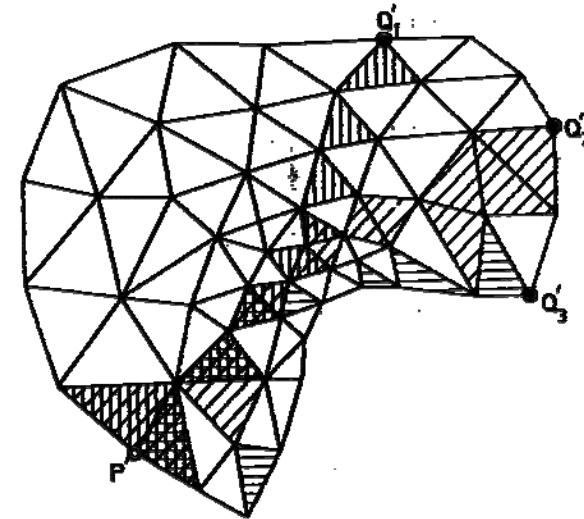
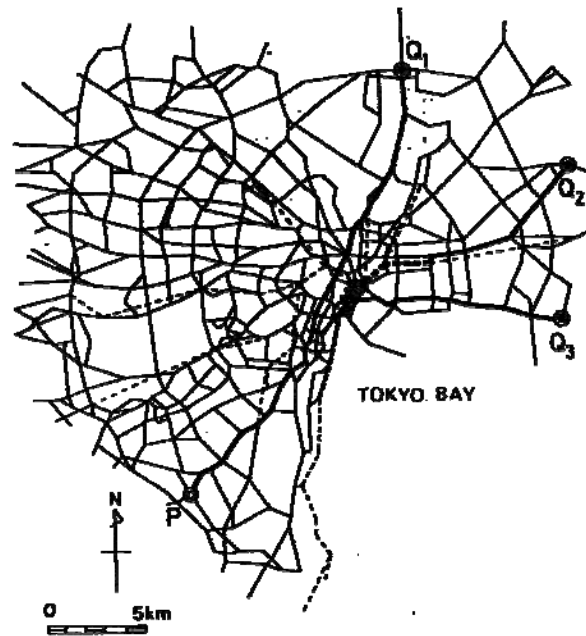
Flow around the end of a slit



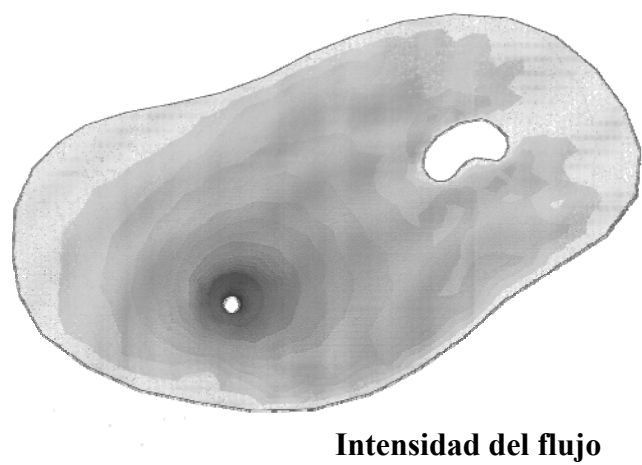
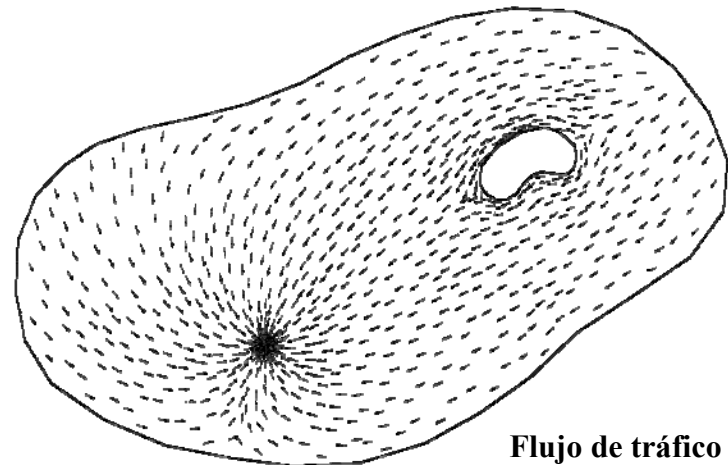
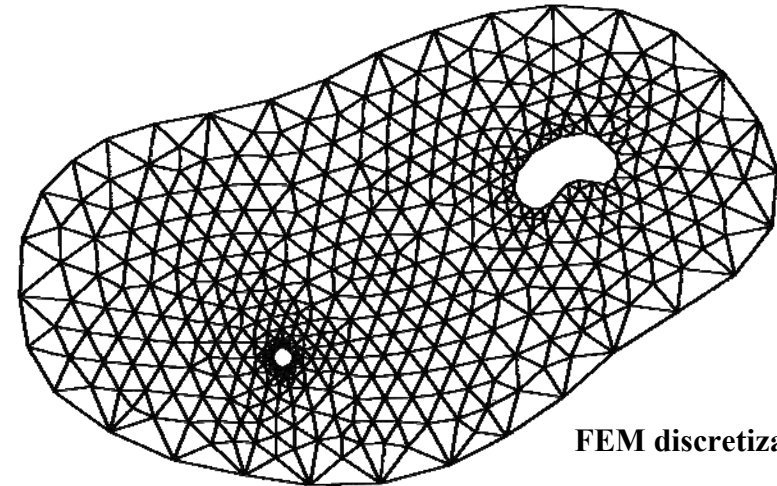
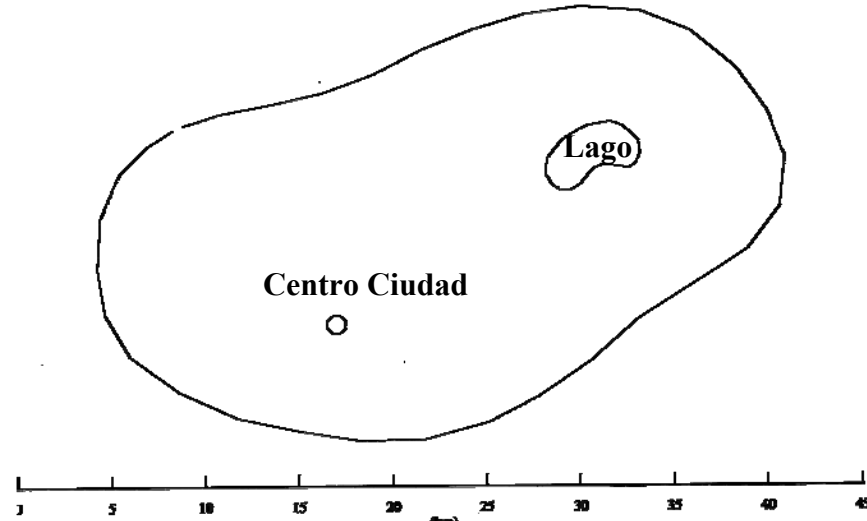
- Técnicas utilizadas desde 1992- ...
- Aproximaciones basadas en “Redes Densas”



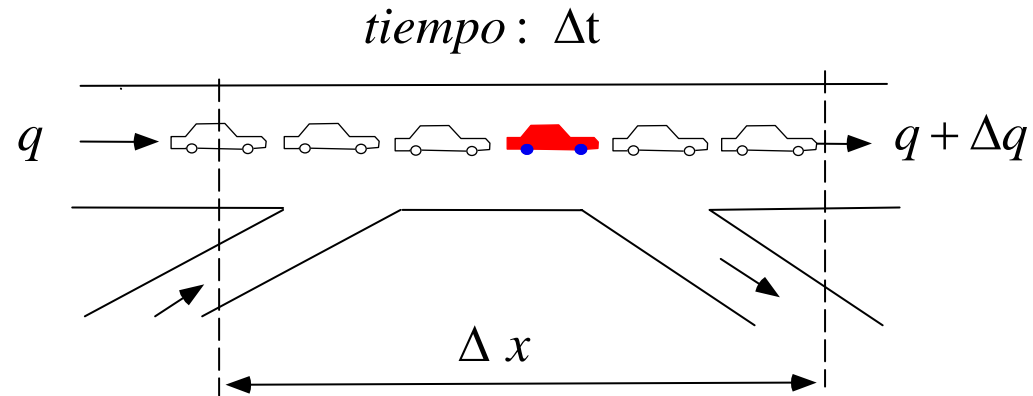
From A. Taguchi, M. Iri (1982)



From S.C. Wong (1998)



## Flujo de tráfico uni-dimensional



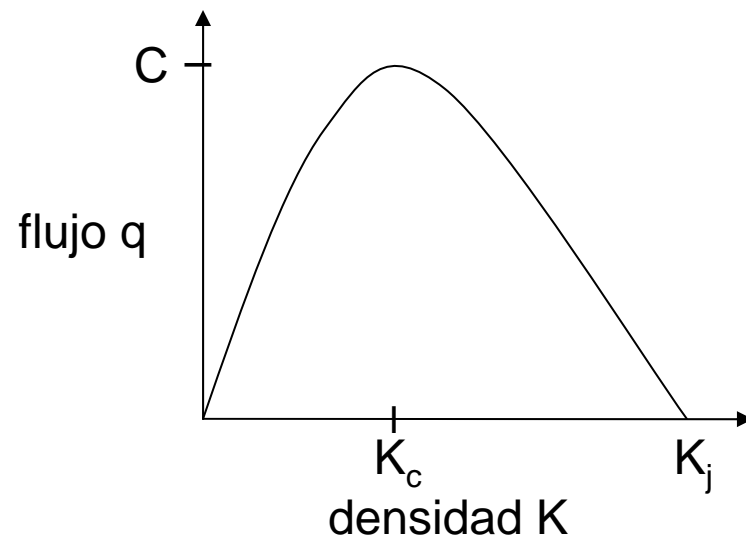
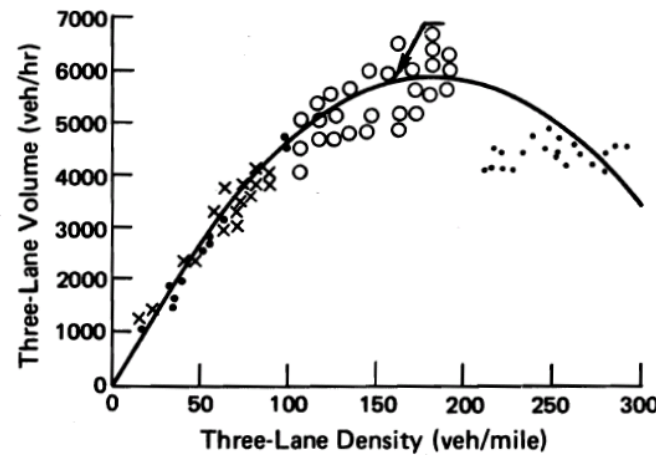
$$\frac{(q + \Delta q) - q}{\Delta x} + \text{salida} - \text{entradas} = -\frac{\Delta K}{\Delta t}$$

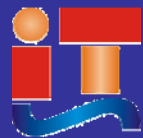
$\Downarrow$

$$\frac{\partial K(x,t)}{\partial t} + \frac{\partial q(x,t)}{\partial x} = \theta(x,t)$$

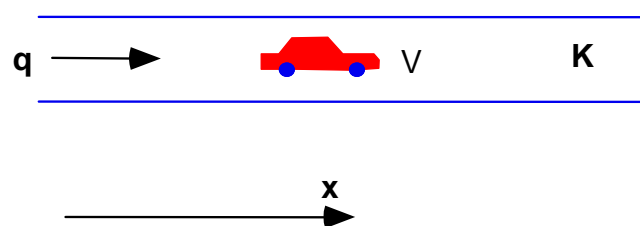
*Lighthill-Whitham, 1955; Richards, 1956: Modelo 1<sup>er</sup> orden*

## Flujo de tráfico uni-dimensional





## Flujo de tráfico uni-dimensional

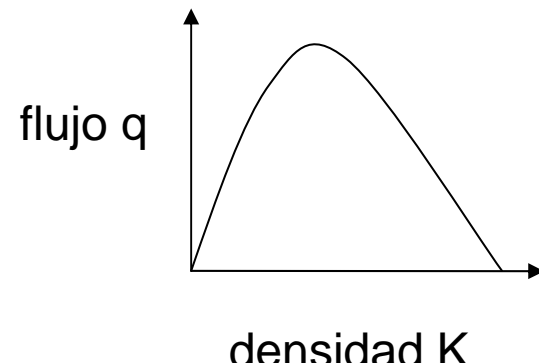


### Ecuación de continuidad

$$\frac{\partial K(x,t)}{\partial t} + \frac{\partial q(x,t)}{\partial x} = \theta(x,t)$$

Lighthill-Whitham, 1955: Modelo 1<sup>er</sup> orden

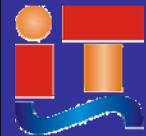
### Diagrama fundamental del tráfico



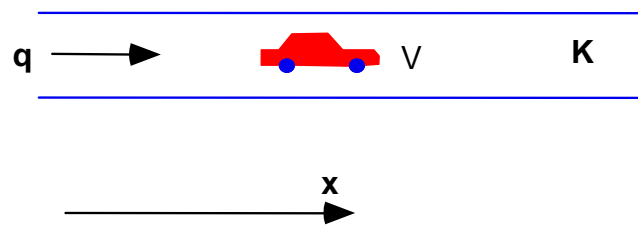
$$q(x,t) = Q(K(x,t))$$

$$V_e = \frac{q}{K} = V(K(x,t))$$

$$q(x,t) = K(x,t) \cdot V(x,t)$$

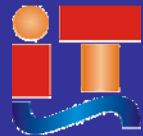


### Flujo de tráfico uni-dimensional

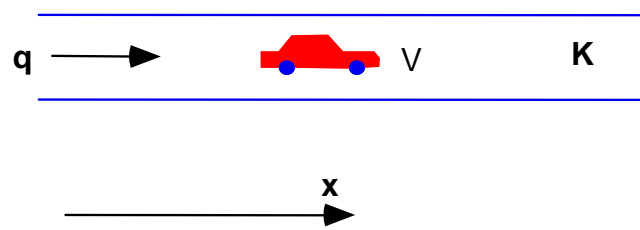


#### Modelo simple de 1<sup>er</sup> orden

$$\frac{\partial K(x,t)}{\partial t} + \frac{\partial q(x,t)}{\partial x} = \theta(x,t)$$
$$q(x,t) = K(x,t) \cdot V(x,t)$$



## Flujo de tráfico uni-dimensional



### Modelo simple de 1<sup>er</sup> orden

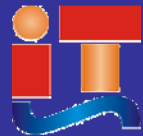
$$\frac{\partial K(x,t)}{\partial t} + \frac{\partial q(x,t)}{\partial x} = \theta(x,t)$$
$$q(x,t) = K(x,t) \cdot V(x,t)$$

$$V_e = \frac{q}{K} = V(K(x,t)) \Rightarrow$$

### Modelo de 2º orden

$$a = \frac{\partial V}{\partial t} + V \frac{\partial V}{\partial x} = \frac{V_e - V}{T} - \frac{\nu}{T} \frac{1}{K} \frac{\partial K}{\partial x}$$

Payne, 1971



## Flujo de tráfico uni-dimensional

### Modelo simple difusivo

$$q = Q(K(x,t)) - \mu \frac{\partial K}{\partial x}$$

$$v = V(K(x,t)) - \mu \frac{1}{K} \frac{\partial K}{\partial x}$$

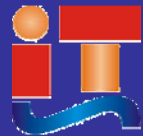
Whitham, 1974

### Modelo simple de 1<sup>er</sup> orden

$$\frac{\partial K(x,t)}{\partial t} + \frac{\partial q(x,t)}{\partial x} = \theta(x,t)$$
$$q(x,t) = K(x,t) \cdot V(x,t)$$

### Modelo de 2º orden

$$a = \frac{\partial V}{\partial t} + V \frac{\partial V}{\partial x} = \frac{V_e - V}{T} - \frac{\nu}{T} \frac{1}{K} \frac{\partial K}{\partial x}$$



### Flujo de tráfico uni-dimensional

#### Modelo simple difusivo

$$q = Q(K(x,t)) - \mu \frac{\partial K}{\partial x}$$

$$v = V(K(x,t)) - \mu \frac{1}{K} \frac{\partial K}{\partial x}$$

Whitham, 1974

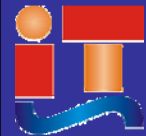
#### Modelo simple de 1<sup>er</sup> orden

$$\frac{\partial K(x,t)}{\partial t} + \frac{\partial q(x,t)}{\partial x} = \theta(x,t)$$

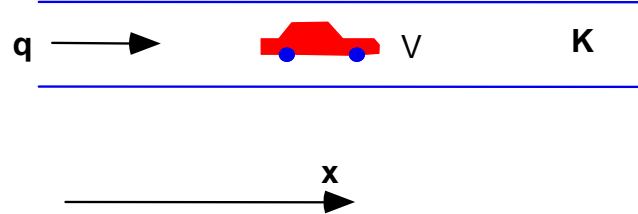
$$q(x,t) = K(x,t) \cdot V(x,t)$$

#### Modelo de 2º orden

$$a = \frac{\partial V}{\partial t} + V \frac{\partial V}{\partial x} = \frac{V_e - V}{T} - \frac{\nu}{T} \frac{1}{K} \frac{\partial K}{\partial x}$$



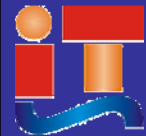
### Flujo de tráfico uni-dimensional



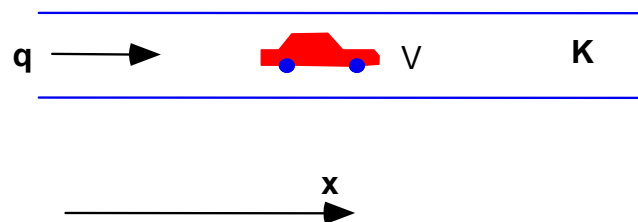
### Modelo simple de 1<sup>er</sup> orden difusivo

$$\frac{\partial K(x,t)}{\partial t} + \frac{\partial q(x,t)}{\partial x} = \theta(x,t)$$

$$q(x,t) = K(x,t) \cdot V(x,t) - \mu \frac{\partial K}{\partial x}$$



### Flujo de tráfico uni-dimensional

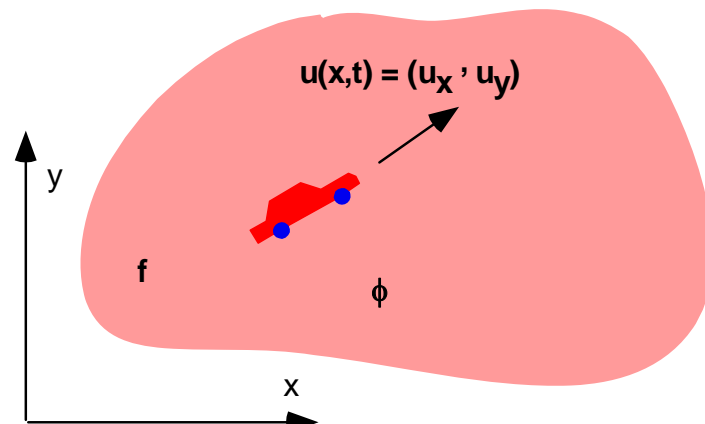


### Modelo simple de 1<sup>er</sup> orden difusivo

$$\frac{\partial K(x,t)}{\partial t} + \frac{\partial q(x,t)}{\partial x} = \theta(x,t)$$

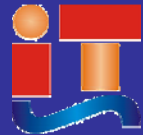
$$q(x,t) = K(x,t) \cdot V(x,t) - \mu \frac{\partial K}{\partial x}$$

### Flujo de tráfico bi-dimensional



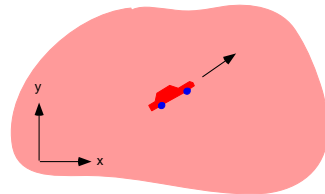
$$\frac{\partial \phi(x,t)}{\partial t} + \nabla \cdot \mathbf{f}(x,t) = \rho(x,t)$$

$$\mathbf{f}(x,t) = \underbrace{\phi(x,t) u(x,t)}_{\text{convectiva}} - \underbrace{\mu \nabla \phi(x,t)}_{\text{difusiva}}$$



## Flujo de tráfico bi-dimensional

### Ecuación de advección-difusión



$$\frac{\partial \phi(x, t)}{\partial t} - \mu \nabla^2 \phi(x, t) + \nabla[u(x, t) \phi(x, t)] = \rho(x, t)$$

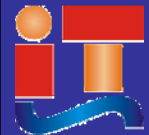
### Ecuación de convección-difusión

$$\frac{\partial \phi(x, t)}{\partial t} - \mu \nabla^2 \phi(x, t) + u(x, t) \cdot \nabla \phi(x, t) + k \phi(x, t) = \rho(x, t)$$

$$u(x, t) = \bar{u}(t) + \tilde{u}(x, t)$$

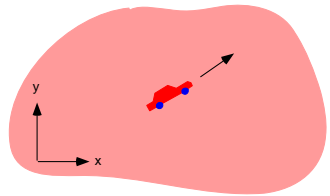
$$\nabla \cdot \bar{u}(t) = 0$$

$$\frac{\partial \phi(x, t)}{\partial t} - \mu \nabla^2 \phi(x, t) + \bar{u}(t) \nabla \phi(x, t) + \nabla[\tilde{u}(x, t) \phi(x, t)] = \rho(x, t)$$



## Flujo de tráfico bi-dimensional

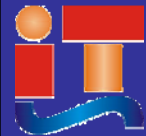
### Ecuación de advección-difusión



$$\frac{\partial \phi(x,t)}{\partial t} - \mu \nabla^2 \phi(x,t) + \bar{u}(t) \nabla \phi(x,t) + \nabla [\tilde{u}(x,t) \phi(x,t)] = \rho(x,t)$$

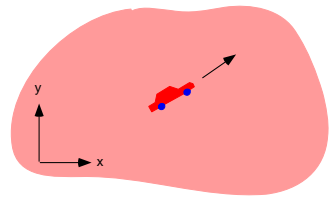
### Ecuación de convección-difusión

$$\frac{\partial \phi(x,t)}{\partial t} - \mu \nabla^2 \phi(x,t) + u(x,t) \cdot \nabla \phi(x,t) + k \phi(x,t) = \rho(x,t)$$



## Flujo de tráfico bi-dimensional

### Ecuación de advección-difusión

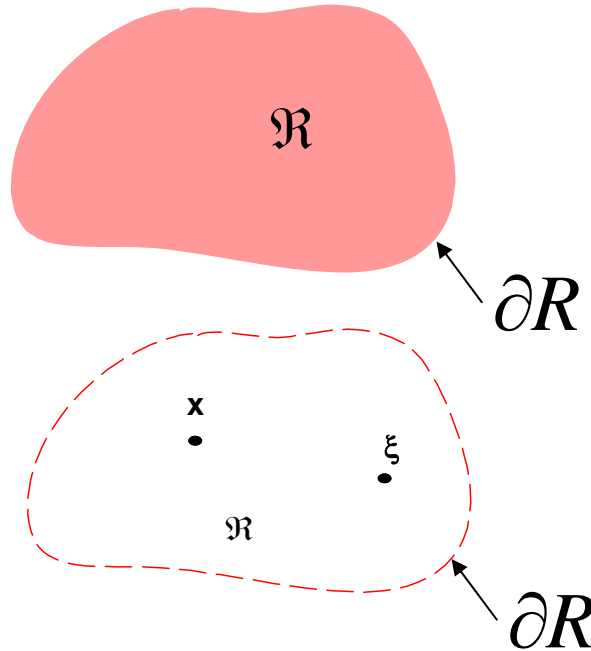


$$\mu \nabla^2 \phi(x, t) - \bar{u}(t) \nabla \phi(x, t) = \frac{\partial \phi(x, t)}{\partial t} + \nabla[\tilde{u}(x, t) \phi(x, t)] - \rho(x, t)$$

### Ecuación de convección-difusión

$$\mu \nabla^2 \phi(x, t) - u(x, t) \cdot \nabla \phi(x, t) - k \phi(x, t) = \frac{\partial \phi(x, t)}{\partial t} - \rho(x, t)$$

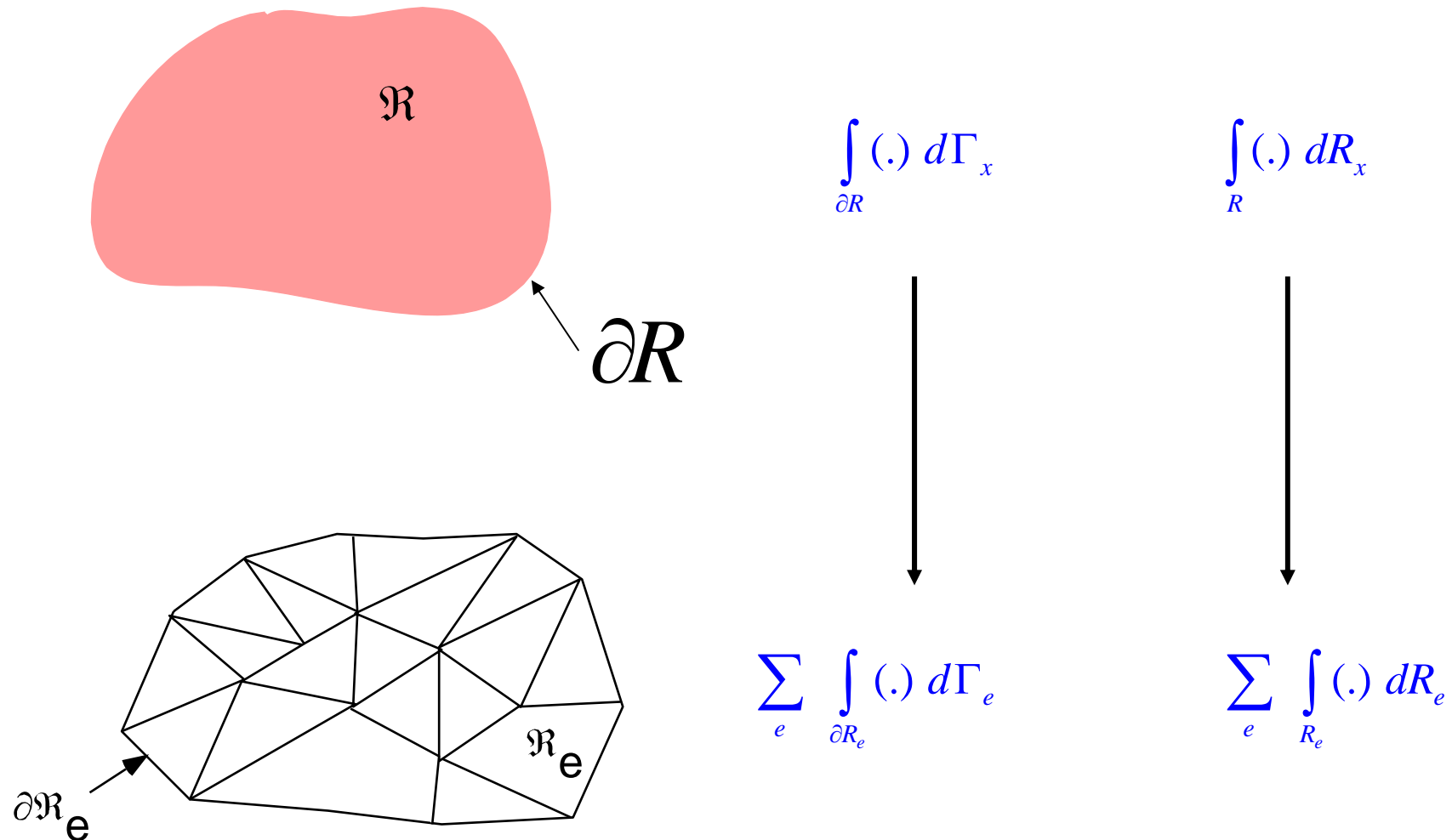
$$L[\phi] = \chi(x, t)$$

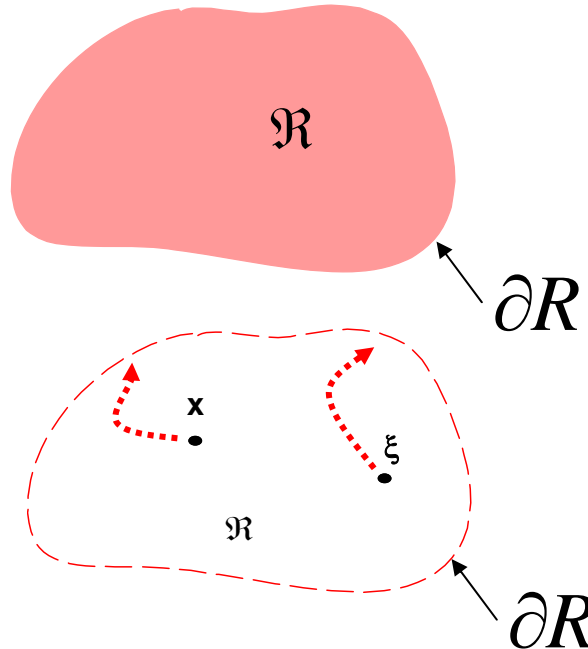


$$L[\phi] = \chi(x, t)$$

$$L^*[\psi] = -\delta(x, \xi)$$

$$c(\theta)\phi(\xi) + \int_{\partial R} \left[ h(x, \xi) \phi(x) - g(x, \xi) \frac{\partial \phi(x)}{\partial n} \right] d\Gamma_x = \int_R \chi(x, t) \psi(x, \xi, t) dR_x$$

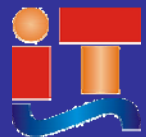




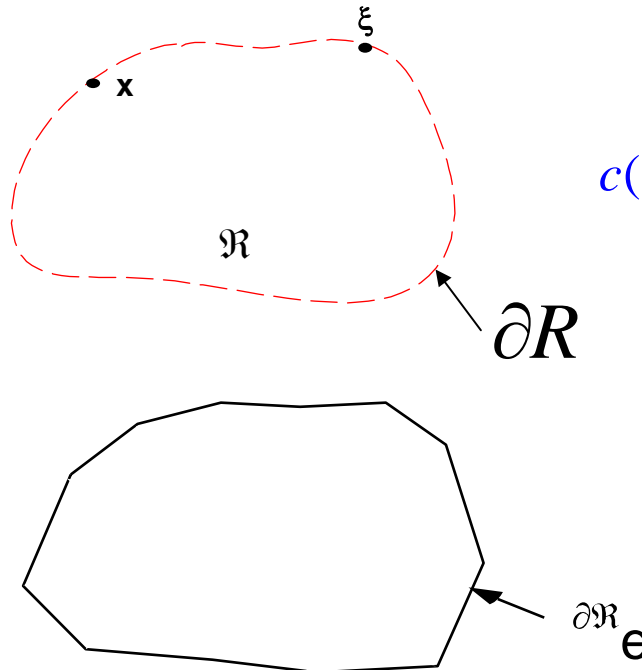
$$L[\phi] = \chi(x, t)$$

$$L^*[\psi] = -\delta(x, \xi)$$

$$c(\theta)\phi(\xi) + \int_{\partial R} \left[ h(x, \xi) \phi(x) - g(x, \xi) \frac{\partial \phi(x)}{\partial n} \right] d\Gamma_x = \int_R \chi(x, t) \psi(x, \xi, t) dR_x$$

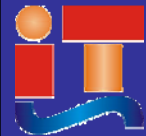


# Bases y fundamentos: Método de los elementos de contorno (BIEM)

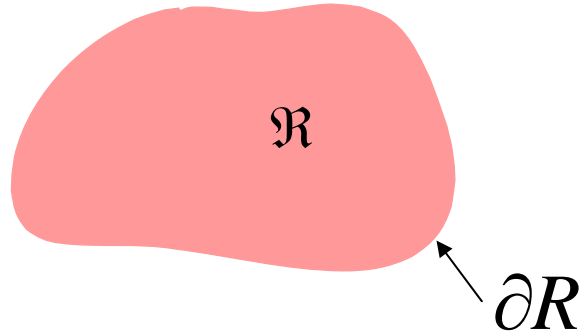


$$c(\theta)\phi(\xi) + \int_{\partial R} \left[ h(x, \xi) \phi(x) - g(x, \xi) \frac{\partial \phi(x)}{\partial n} \right] d\Gamma_x = 0$$

$$[C]\{\phi\} + [H]\{\phi\} - [G]\left\{ \frac{\partial \phi}{\partial n} \right\} = 0$$



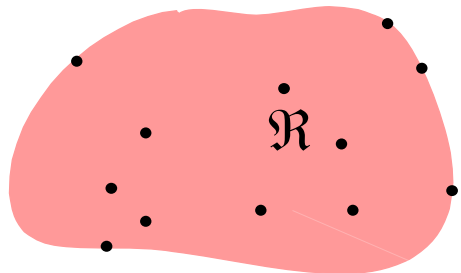
# Bases y fundamentos: Método de los elementos de contorno (BIEM)



$$L[\phi] = \chi(x, t)$$

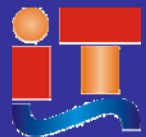
$$c(\theta)\phi(\xi) + \int_{\partial R} \left[ h(x, \xi) \phi(x) - g(x, \xi) \frac{\partial \phi(x)}{\partial n} \right] d\Gamma_x = \boxed{\int_R \chi(x, t) \psi(x, \xi, t) dR_x}$$

Método de Reciprocidad Dual (DRM)

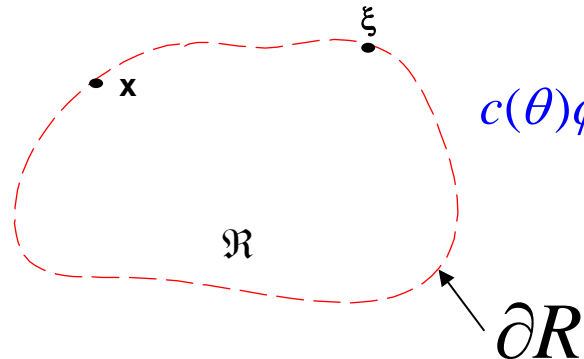


$$\chi(x, t) = \sum_{k=1}^M \alpha_k(t) f_k(x) \quad L[\zeta_k] = f_k(x)$$

$$\int_R \chi(x, t) \psi(x, \xi, t) dR_x \Rightarrow \left( [C]\{\zeta\} + [H]\{\zeta\} - [G]\left\{ \frac{\partial \zeta}{\partial n} \right\} \right) [F]^{-1}\{\chi\}_{RD} \equiv [\tau]\{\chi\}_{RD}$$

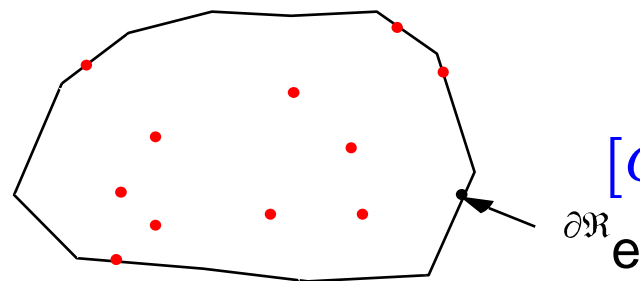


# Bases y fundamentos: Método de los elementos de contorno (BIEM)

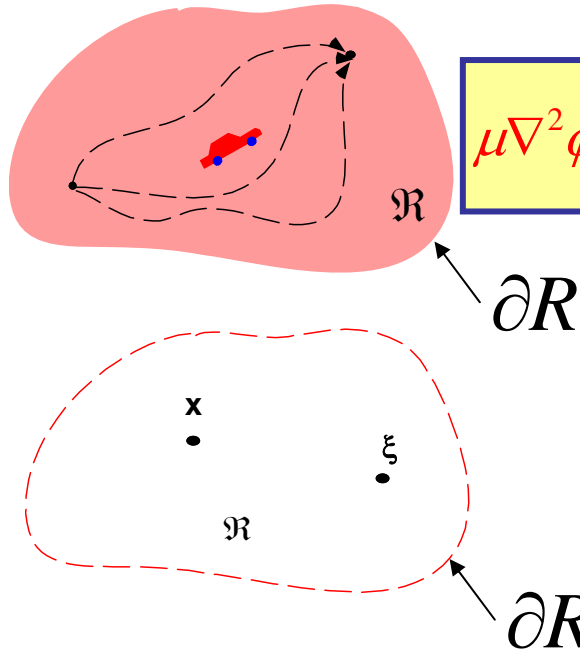


$$c(\theta)\phi(\xi) + \int_{\partial R} \left[ h(x, \xi) \phi(x) - g(x, \xi) \frac{\partial \phi(x)}{\partial n} \right] d\Gamma_x =$$

$$\int_R \chi(x, t) \psi(x, \xi, t) dR_x$$



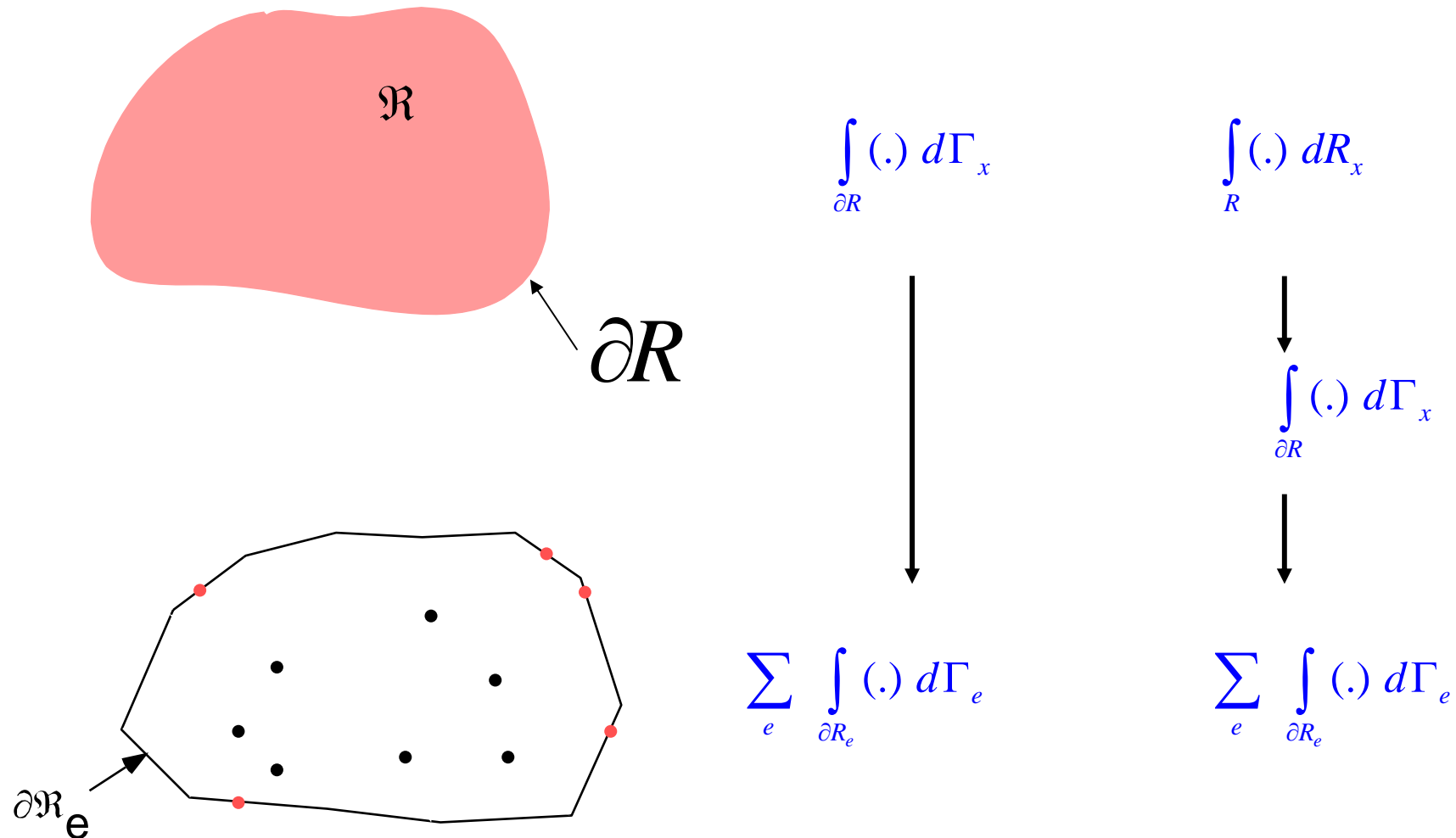
$$[C]\{\phi\} + [H]\{\phi\} - [G]\left\{ \frac{\partial \phi}{\partial n} \right\} = [\tau]\{\chi\}_{RD}$$

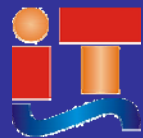


$$\mu \nabla^2 \phi(x, t) - \bar{u}(t) \nabla \phi(x, t) = \frac{\partial \phi(x, t)}{\partial t} + \nabla [\tilde{u}(x, t) \phi(x, t)] - \rho(x, t)$$

$$\mu \nabla^2 \psi(x, \xi, t) + \bar{u}(t) \cdot \nabla \psi(x, \xi, t) = -\delta(\xi)$$

$$\begin{aligned} & \phi(x, t) + \mu \int_{\partial R} \left[ \phi(x, t) \frac{\partial \psi(x, \xi, t)}{\partial n} - \psi(x, \xi, t) \frac{\partial \phi(x, t)}{\partial n} \right] d\Gamma_x \\ & + \int_{\partial R} \phi(x, t) \psi(x, \xi, t) \bar{u}_n(t) d\Gamma_x \\ & = - \int_R \left\{ \frac{\partial \phi(x, t)}{\partial t} + \nabla \cdot [\tilde{u}(x, t) \phi(x, t)] - \rho(x, t) \right\} \psi(x, \xi, t) dR_x \end{aligned}$$





# Bases y fundamentos: Flujo de tráfico bi-dimensional y uni-bien



Término derivada en tiempo

$$\dot{\phi}(x,t) = \frac{\partial \phi(x,t)}{\partial t} = \sum_{k=1}^{K_1} f_k(x) \cdot \alpha_k(t)$$

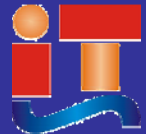
Término distribución espacial

$$\rho(x,t) = \sum_{k=1}^{K_2} s_k(x) \cdot \beta_k(t)$$

Término de divergencia

$$\nabla \cdot [\tilde{u}(x,t) \phi(x,t)] = \sum_{k=1}^{K_3} r_k(x) \cdot \gamma_k(t)$$

$$\left. \begin{array}{l} f_k(x) = f(\xi, x_k, \bar{u}(t)) \\ r_k(x) = r(\xi, x_k, \bar{u}(t)) \\ s_k(x) = s(\xi, x_k, \bar{u}(t)) \end{array} \right\} = \mu(4 + 9r + 16r^2) - [\bar{u}(\xi_x - x_k) + \bar{v}(\xi_y - y_k)](2 + 3r + 4r^2)$$



# Bases y fundamentos: Flujo de tráfico bi-dimensional y uni-bien

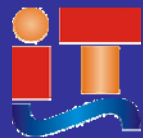


## Ecuación de la Densidad de tráfico

$$[C]\{\phi\} + [H]\{\phi\} - [G]\left\{\frac{\partial \phi}{\partial n}\right\} = [\tau]\left(\left\{\frac{\partial \phi}{\partial t}\right\} - \{\rho\} + \left\{\nabla \cdot [\tilde{u} \phi]\right\}\right)_{RD}$$
$$\nabla \cdot [\tilde{u} \phi] = \nabla \cdot [\tilde{u}] \cdot \phi + \tilde{u} \cdot \nabla [\phi]$$

## Ecuación del Gradiente de la Densidad de tráfico

$$[A]\{\phi\} + [D]\{\nabla \phi\} + [\bar{H}]\{\phi\} - [\bar{G}]\left\{\frac{\partial \phi}{\partial n}\right\} = [\bar{\tau}]\left(\left\{\frac{\partial \phi}{\partial t}\right\} - \{\rho\} + \left\{\nabla \cdot [\tilde{u} \phi]\right\}\right)_{RD}$$



# Bases y fundamentos: Flujo de tráfico bi-dimensional y uni-bien

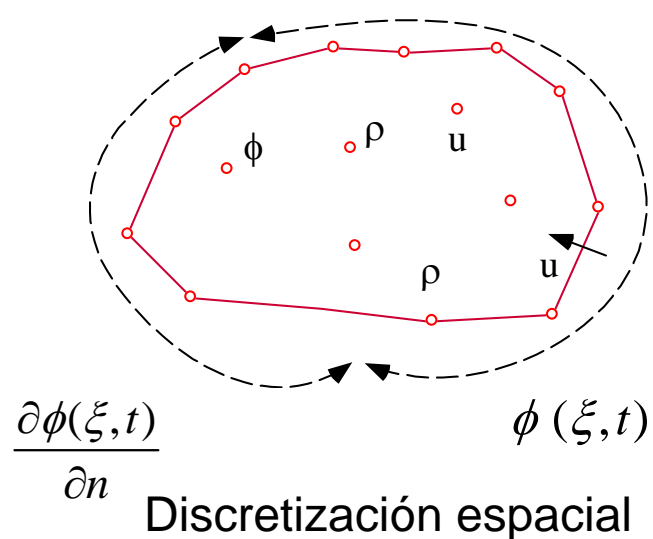


Densidad

$$[C]\{\phi\} + [H]\{\phi\} - [G]\left\{\frac{\partial \phi}{\partial n}\right\} = [\tau]\left(\left\{\frac{\partial \phi}{\partial t}\right\} - \{\rho\} + \{\nabla \cdot [\tilde{u} \phi]\}\right)_{RD}$$

Gradiente

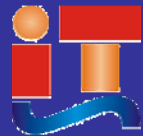
$$[A]\{\phi\} + [D]\{\nabla \phi\} + [\bar{H}]\{\phi\} - [\bar{G}]\left\{\frac{\partial \phi}{\partial n}\right\} = [\bar{\tau}]\left(\left\{\frac{\partial \phi}{\partial t}\right\} - \{\rho\} + \{\nabla \cdot [\tilde{u} \phi]\}\right)_{RL}$$



$$\left\{\frac{\partial \phi(x,t)}{\partial t}\right\} = \frac{\{\phi\}^{m+1} - \{\phi\}^m}{\Delta t}$$

Discretización temporal

$$[\hat{H}] \cdot \{\phi\}^{m+1} - [\hat{G}] \cdot \{\mathbf{q}\}^{m+1} = \{\hat{d}\}^m$$

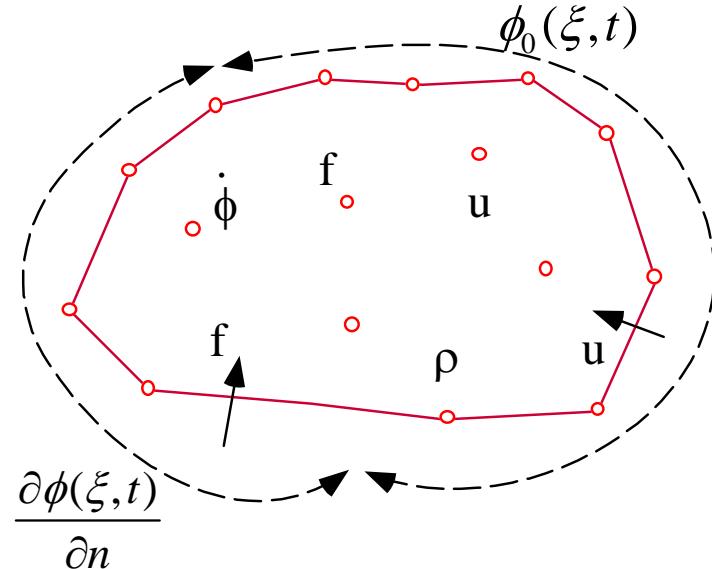


## Bases y fundamentos:

# Flujo de tráfico bi-dimensional y uni-bien



### Implementación numérica y Algoritmo



#### CONDICIONES DE CONTORNO

- Densidad y Fluxes:  $\{\phi\}^m$ ,  $\left\{ \frac{\partial \phi}{\partial n} \right\}^m$
- Velocidades:  $\{u\}^m$
- Generación y Atracción de viajes:  $\{\rho\}^m$

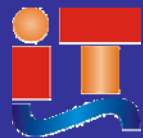
#### DEFINICION DE LA GEOMETRIA

- Discretización del Contorno
- Puntos internos
- Parámetros temporales
  - integración:  $\theta_\phi, \theta_q$
  - paso:  $\Delta t$
  - intervalo:  $(t_0, t_\infty)$

$$t^m = t_0 + m \Delta t$$

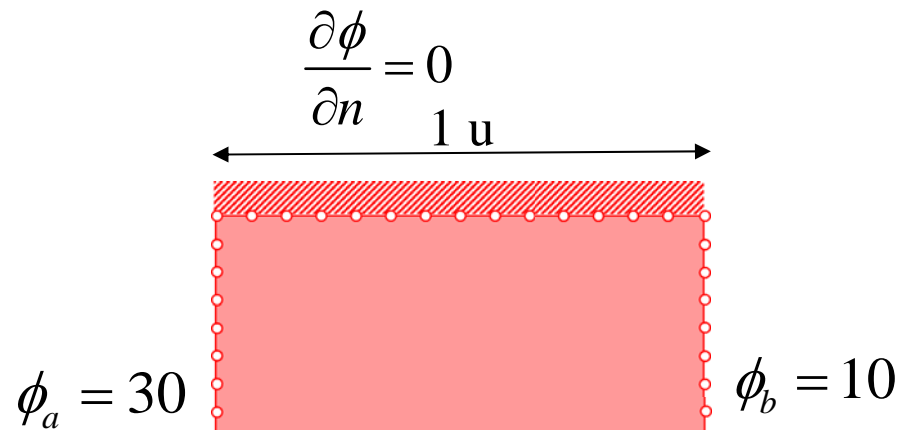
#### CONDICIONES INTERNAS

- Densidades:  $\{\phi\}^m$
- Velocidades:  $\{u\}^m$
- Generación y Atracción de viajes:  $\{\rho\}^m$

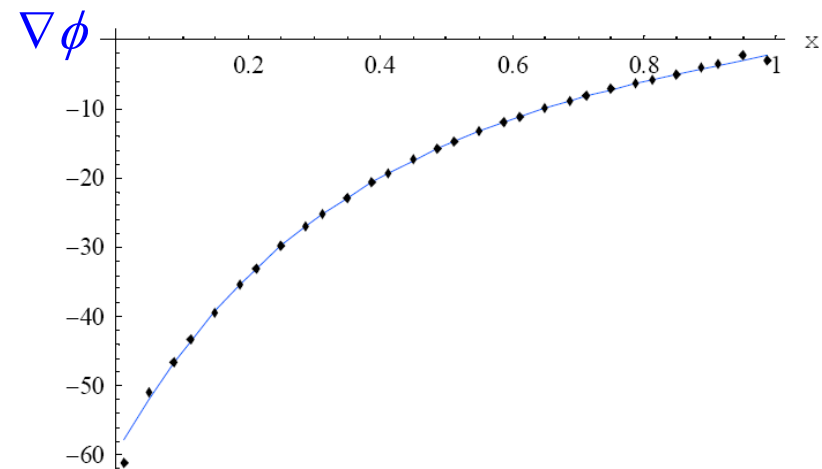
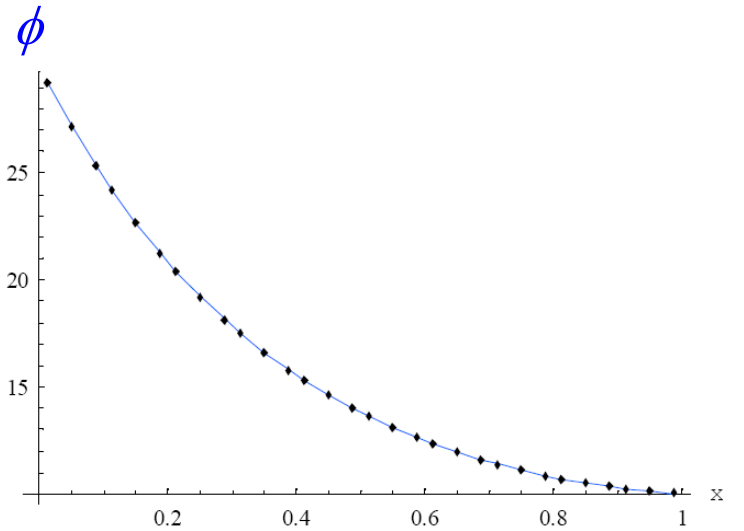


### Caso estacionario

$$\mu \nabla^2 \phi(x, t) - \nabla \cdot (u\phi) = 0$$

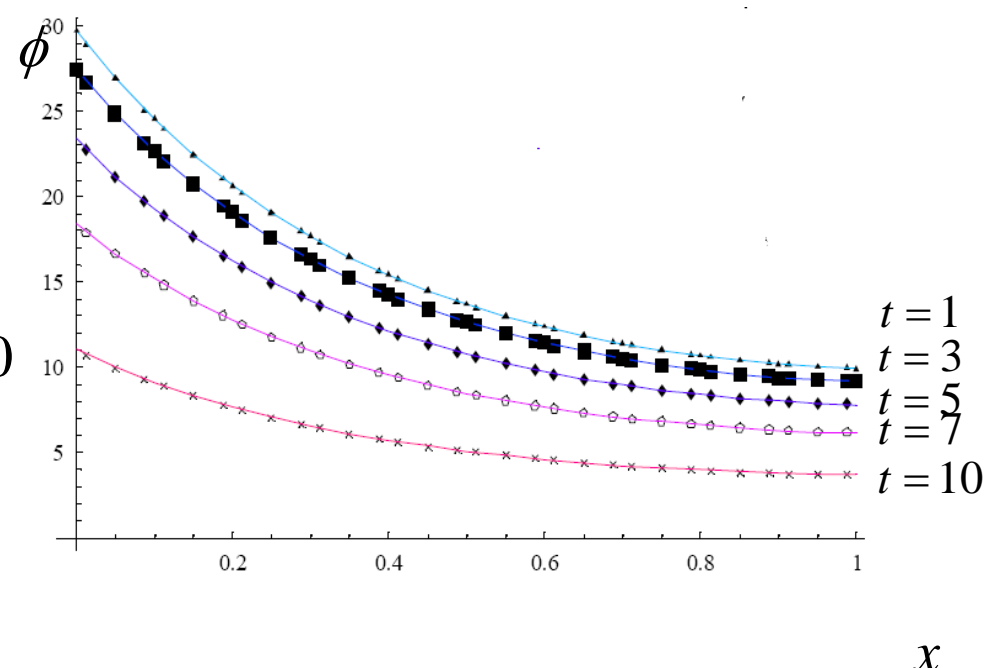
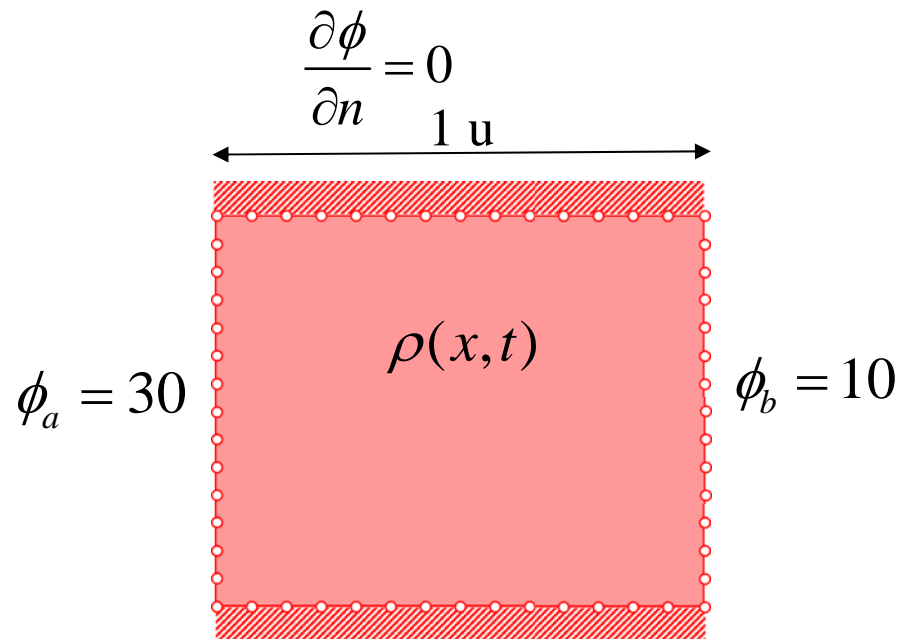


$$\frac{\partial \phi}{\partial n} = 0$$

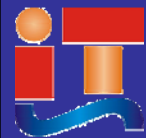


## Caso transitorio

$$\mu \nabla^2 \phi(x, t) - \nabla \cdot (u(x, t) \phi(x, t)) = \frac{\partial \phi(x, t)}{\partial t} - \rho(x, t)$$

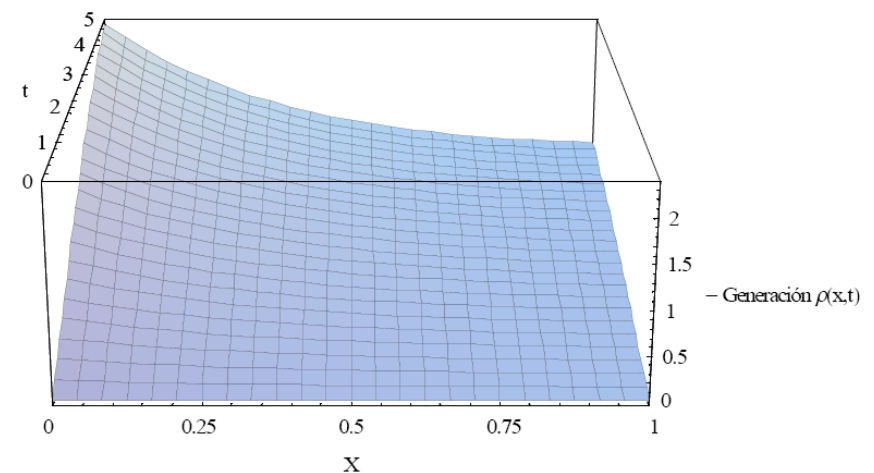
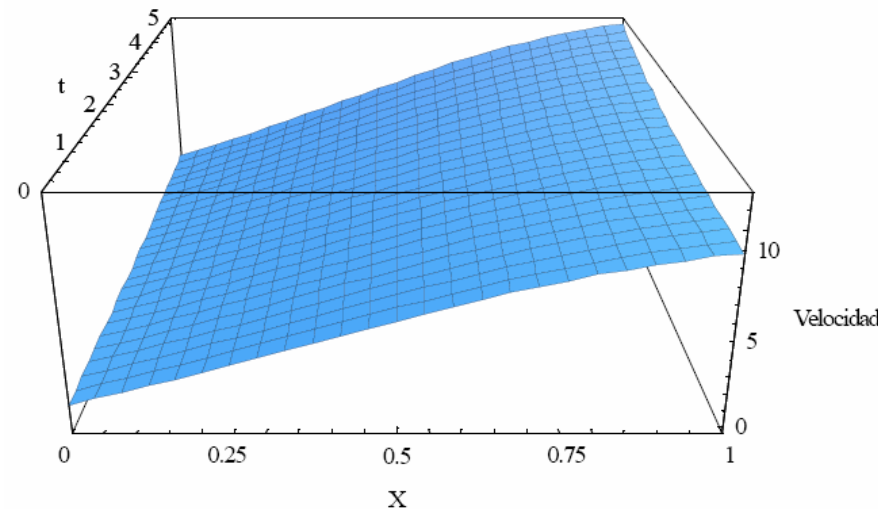
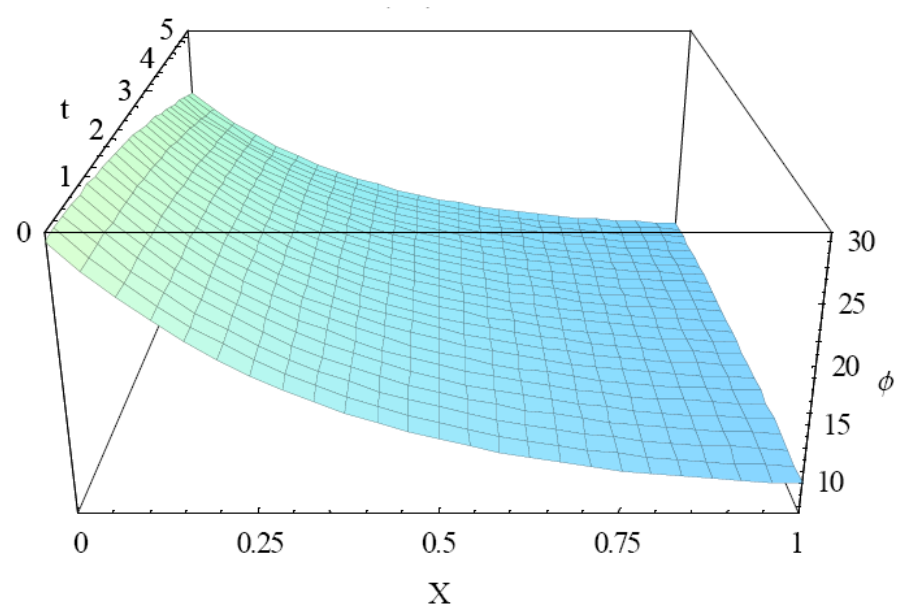
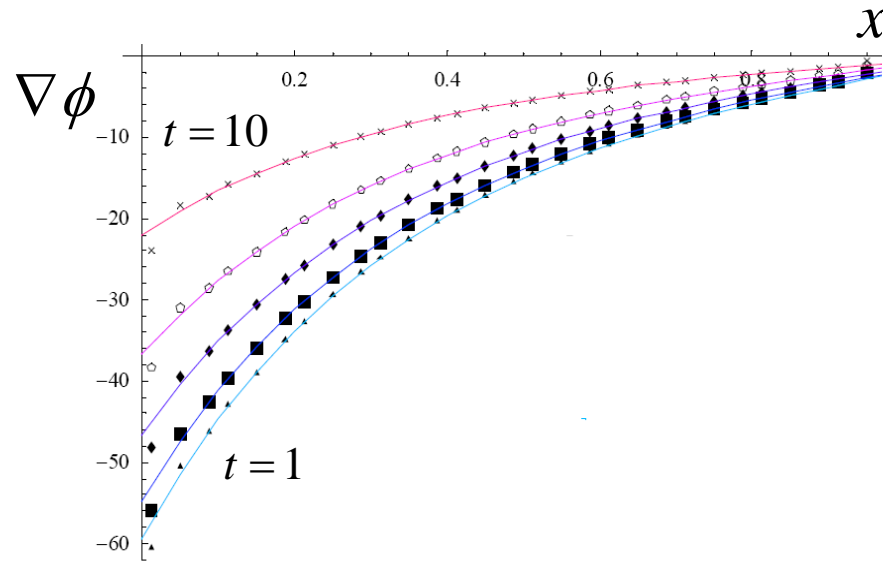


$$\frac{\partial \phi}{\partial n} = 0$$



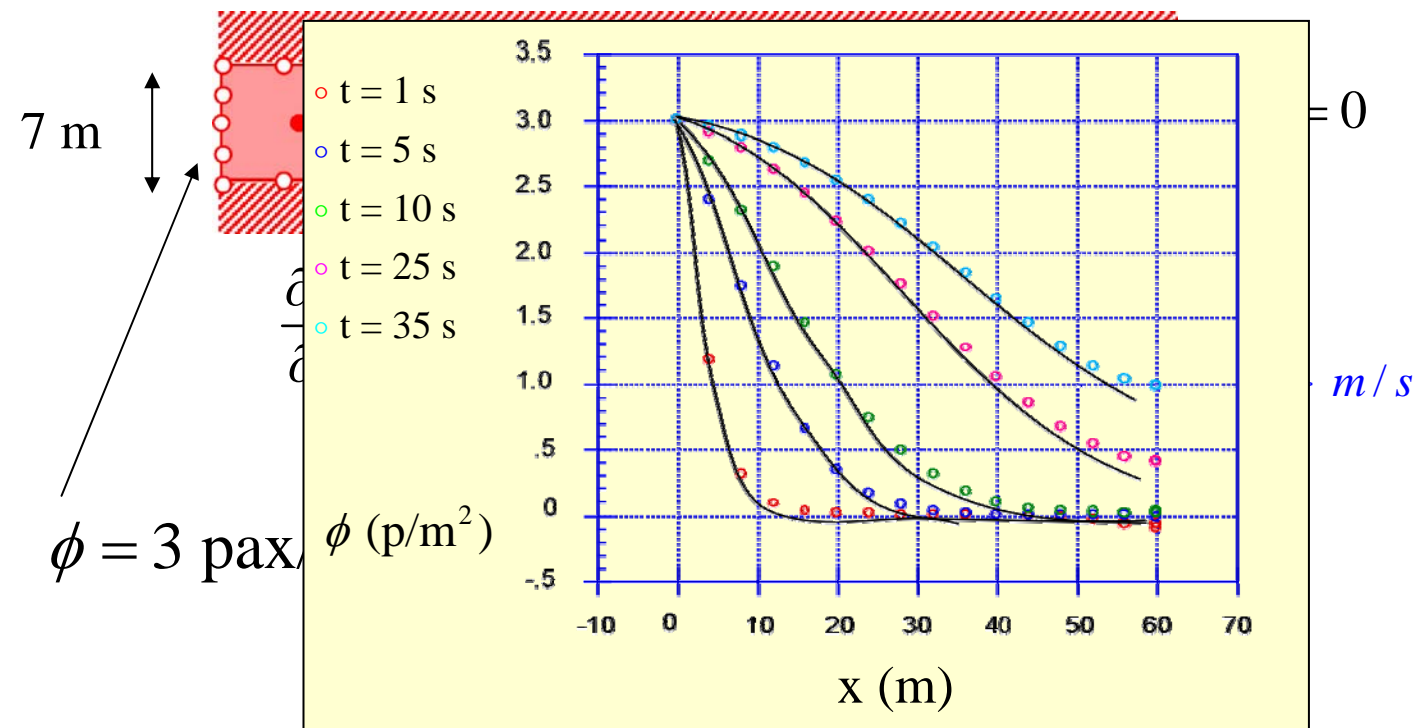
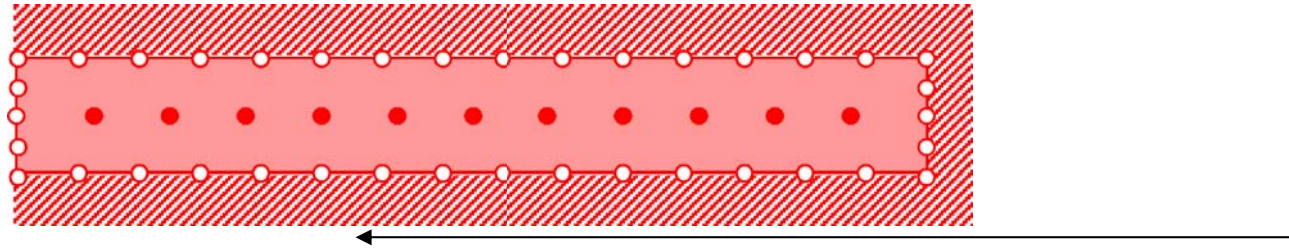
## Ejemplos:

### Caso 2

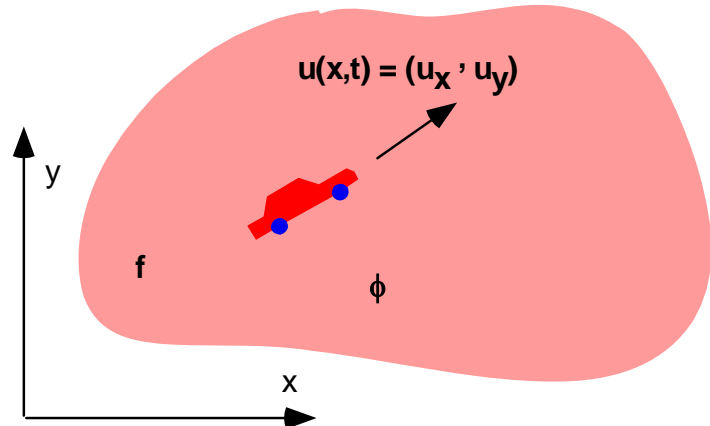


## Caso transitorio

$$\mu \nabla^2 \phi(x,t) - \nabla \cdot (u(x,t) \phi(x,t)) = \frac{\partial \phi(x,t)}{\partial t}$$



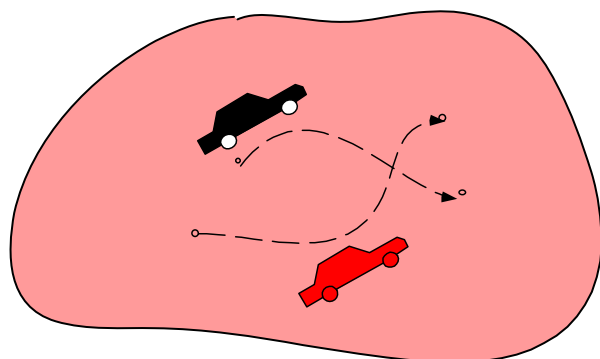
### Flujo de tráfico uni-bien



$$\frac{\partial \phi(x,t)}{\partial t} + \nabla \cdot \mathbf{f}(x,t) = \rho(x,t)$$

$$\mathbf{f}(x,t) = \underbrace{\phi(x,t) u(x,t)}_{\text{convectiva}} - \underbrace{\mu \nabla \phi(x,t)}_{\text{difusiva}}$$

### Flujo de tráfico multi-bien

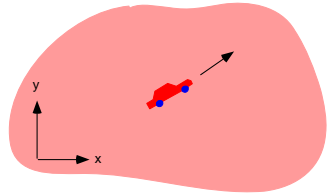


$$\frac{\partial \phi^b(x,t)}{\partial t} + \nabla \cdot \mathbf{f}^b(x,t) = \rho^b(x,t) \quad \forall b = 1, \dots, NB$$

$$\mathbf{f}^b(x,t) = \underbrace{\phi^b(x,t) u^b(x,t)}_{\text{convectiva}} - \underbrace{\sum_{c=1}^{NB} \mu^c \nabla \phi^c(x,t)}_{\text{difusiva}}$$

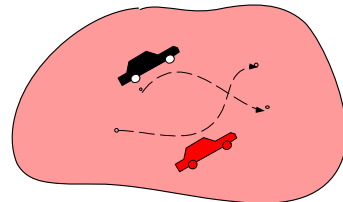
Flujo de tráfico uni-bien

Ecuación de advección-difusión

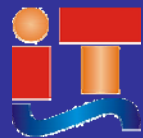


$$\mu \nabla^2 \phi(x, t) - \bar{u}(t) \nabla \phi(x, t) = \frac{\partial \phi(x, t)}{\partial t} + \nabla [\tilde{u}(x, t) \phi(x, t)] - \rho(x, t)$$

Flujo de tráfico multi-bien



$$\begin{aligned} \mu^b \nabla^2 \phi^b(x, t) - \bar{u}^b(t) \nabla \phi^b(x, t) + \sum_{c \neq b=1}^{NB} \mu^c \nabla^2 \phi^c(x, t) = \\ \frac{\partial \phi^b(x, t)}{\partial t} + \nabla [\tilde{u}^b(x, t) \phi^b(x, t)] - \rho^b(x, t) \end{aligned}$$



# Líneas investigadas: Flujo de tráfico bi-dimensional y multi-bien

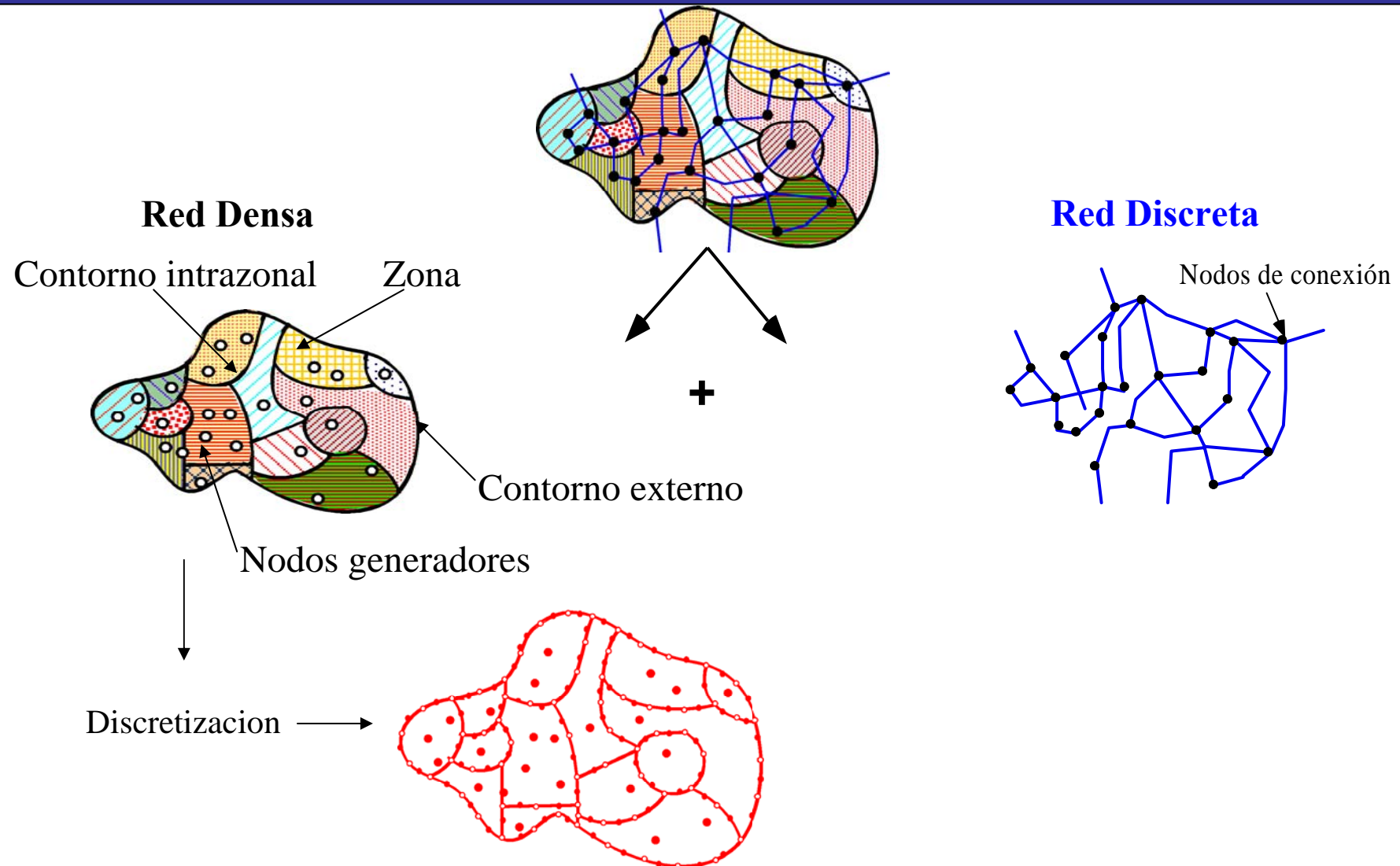


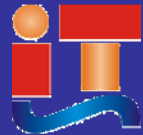
$$\begin{aligned}
 & \sum_{c=1}^{NB} \left( \frac{\mu^c}{\mu^b} \left( \left\{ h^b \right\}^T \cdot \left\{ \phi^c \right\} - \left\{ g^b \right\}^T \cdot \left\{ \frac{\partial \phi^c}{\partial \mathbf{n}} \right\} \right) + \right. \\
 & \quad \left. + (1 - \delta_{bc}) \left( \left\{ h^b \right\}^T \cdot [\zeta] - \left\{ g^b \right\}^T \cdot \left[ \frac{\partial \zeta}{\partial \mathbf{n}} \right] \right) [F^b]^{-1} \frac{\mu^c}{\mu^b} \left\{ \bar{\mathbf{u}}^b \cdot \nabla \phi^c \right\} \right) = \\
 & = \left( \left\{ h^b \right\}^T \cdot [\zeta] - \left\{ g^b \right\}^T \cdot \left[ \frac{\partial \zeta}{\partial \mathbf{n}} \right] \right) [F^b]^{-1} \cdot \\
 & \quad \cdot \left\{ \frac{\partial \phi^b(\mathbf{x}, t)}{\partial t} - \mathbf{p}^b(\mathbf{x}, t) + \nabla \cdot [\tilde{\mathbf{u}}^b(\mathbf{x}, t) \phi^b(\mathbf{x}, t)] \right\}
 \end{aligned}$$

Ecuación de la densidad del bien  $i$

Ecuación del gradiente de densidad del bien  $i$

$$\begin{aligned}
 & \sum_{c=1}^{NB} \left( \frac{\mu^c}{\mu^b} \left( \mathbf{d}_{\xi_{x_i}}(\theta) \nabla \phi^c(\xi) + \left\{ h_{\xi_{x_i}}^b(\xi) \right\}^T \left\{ \phi^c \right\} - \left\{ g_{\xi_{x_i}}^b(\xi) \right\}^T \left[ \frac{\partial \phi^c}{\partial \mathbf{n}} \right] \right) + \right. \\
 & \quad \left. + (1 - \delta_{bc}) \frac{\mu^c}{\mu^b} \bar{\mathbf{u}}^b \cdot \left( \mathbf{d}_{\xi_{x_i}}(\theta) \nabla \zeta_k(\xi) + \left\{ h_{\xi_{x_i}}^b(\xi) \right\}^T [\zeta] - \left\{ g_{\xi_{x_i}}^b(\xi) \right\}^T \left[ \frac{\partial \zeta}{\partial \mathbf{n}} \right] \right) \cdot [F^b]^{-1} \left\{ \nabla \phi^c \right\} \right) = \\
 & = \left( a_{\xi_{x_i}}(\theta) \zeta_k(\xi) + \mathbf{d}_{\xi_{x_i}}(\theta) \nabla \zeta_k(\xi) + \left\{ h_{\xi_{x_i}}^b(\xi) \right\}^T [\zeta] - \left\{ g_{\xi_{x_i}}^b(\xi) \right\}^T \left[ \frac{\partial \zeta}{\partial \mathbf{n}} \right] \right) \\
 & \quad \cdot [F^b]^{-1} \left\{ \frac{\partial \phi^b(\mathbf{x}, t)}{\partial t} - \mathbf{p}^b(\mathbf{x}, t) + \nabla \cdot [\tilde{\mathbf{u}}^b(\mathbf{x}, t) \phi^b(\mathbf{x}, t)] \right\}
 \end{aligned}$$





# Conclusiones



## Conclusión Principal

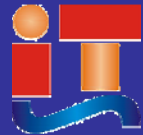
### Metodología y Formulación para el análisis del flujo de tráfico en redes densas

#### VENTAJAS

- Modelado sencillo y realista
  - o Pocos datos
  - o Modelización económica
- Facilidad de introducir modificaciones
  - o actualizaciones
  - o intervenciones
- Sistemas informáticos no especializados
- Personal no especializado

#### DESVENTAJAS

- Está poco desarrollado
- Robusto ?
- Contrastación con la realidad ?.



# Referencias



J. M. del Castillo, P. Pintado, F. G. Benitez. *The Reaction Time of Drivers and the Stability of Traffic Flow.* Transportation Research, Vol.28 B, N.1, pp. 35-60, 1995.

F. G. Benitez. *Traffic Flow in Dense Networks.* 7th World Conference on Transport Research. Modelling Transport Systems (Ed. D. Hensher, J. King, T. Oum), Pergamon, pp. 153-166, 1996.

F. G. Benitez, L.M. Romero. *Traffic flow in dense urban areas by continuum modelling.* Urban Transport VIII (Ed. L.J. Sucharov, C.A. Brebbia, F.G. Benitez). WIT Press. pp 365-374, 2002.

F.G. Benitez, L.M. Romero, J. Vazquez, F.J. Doblas. *El Método de los Elementos de Contorno aplicado al Análisis del Flujo de Tráfico en Ciudades.* V Congreso de Ingeniería del Transporte, (Eds. A. Ibeas, J.M. Diaz), 2002, pp. 239-246.

L. Romero. *Modelización del Tráfico mediante el Método de los Elementos de Contorno.* Tesis Doctoral. Universidad de Sevilla, 2007